

## اثر استرس روانی مزمن بر عملکرد گلی بن کلامید در ترشح انسولین از جزایر لانگرهانس جدا شده موش های صحرایی در حضور گلوکز

\*

چکیده

مقدمه:

(Wistar )

روش ها:

( ۵ )

( ) .

/ / /

یافته ها:

/

/

/

/

نتیجه گیری:

واژگان کلیدی:

گروه فیزیولوژی، دانشکده پزشکی، دانشگاه علوم پزشکی جندی شاپور اهواز  
مرکز تحقیقات غدد درون ریز و متابولیسم، دانشگاه علوم پزشکی شهرید بهشتی

\* نشانی:

zahedi@erc.ac.ir :

تاریخ دریافت مقاله: ۸۵/۱/۱۴

تاریخ پذیرش مقاله: ۸۵/۵/۱۸

مقدمة

/ / )  
.[ ] ( / /

$$\text{ATP} \quad \text{ATP} \quad \left( \begin{array}{c} \cdot [ ] \\ [ ] \end{array} \right)$$

1

- 1- Restraint
  - 2- Rotation
  - 3- Foot shock
  - 4- Sequential
  - 5- Chronic

### 6- Inward-rectifying K<sup>+</sup> channel

[ ]

[ ]

[ ]

[ ]

**روش‌ها**

حیوانات

Wistar

( )

±

[ ]

( ) ( )

جداسازی جزایر

[ ] Kostianovsky Lacy

**روش القای استرس**

V  
 ]  
 ( ) ( )  
 / [ ( )  
 / ( H O ) / ( H O ) / ( )  
 ) / / )

1- HbA<sub>1</sub>C

2- Hank's Balanced Salt Solution (HBSS)

) (BSA) / / [ ] ( Fluka / [ ] ( Roche ) P  
 /  
 ( Sigma ) [ ]  
 / [ ]  
 [ ]  
 % % ) ( Kyowa)  
 .(First-picking)

بررسی ترشح انسولین

) RIA  
 (P2796 Diasorin [ ]  
 Cross- %

reactivity ( )  
 % / % /

تجزیه و تحلیل آماری

Mean  $\pm$  SEM (Second-picking)

) ( / ( H O )  
 ( Merck )  
 ( Sigma ) (HEPES)  
 / )

---

1 Krebs-Ringer Solution (KRS)

$$\begin{array}{c}
 / \pm / : / ) \\
 / \quad / \pm / : / \\
 (P < / ) \quad ( / \pm / : \\
 .( ) \\
 \end{array} \quad ( \quad P < / . \quad \text{Tukey}$$

۲- مقایسه ترشح انسولین از جزایر در حضور غلظت ۶/۵

میلی مولار گلوکز به تنها و یا به همراه گلی بن کلامید

(۱۰ میکرو مولار) در گروههای شاهد و آزمایش

۱- ترشح انسولین از جزایر در حضور غلظت‌های مختلف گلوکز

/

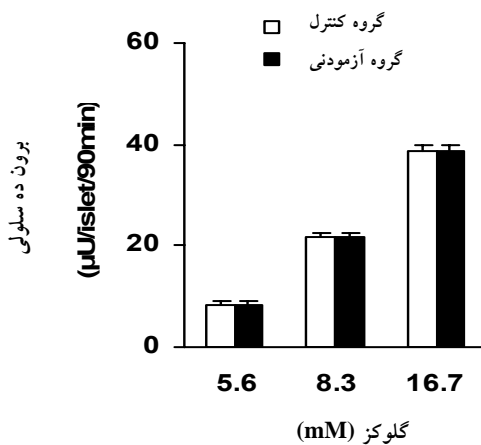
یافته‌ها

$$\begin{array}{c}
 (P < / ) \\
 .( ) \\
 \end{array} \quad .( ) \\$$

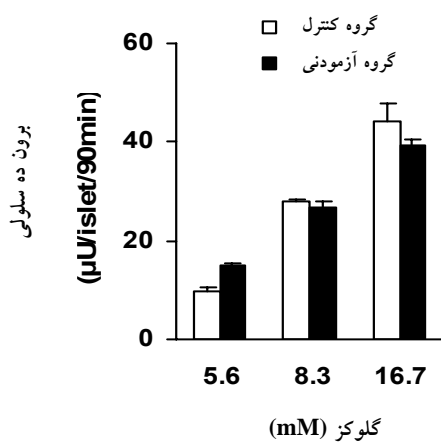
$$\begin{array}{c}
 / \\
 / \\
 .( ) \\
 / \\
 / \\
 \pm / : / \pm / : \\
 ( / \pm / : / \\
 \end{array} \quad .( )$$

جدول ۱- میزان ترشح انسولین (میکرو بیونیت/جزیره ۹۰ دقیقه) از جزایر گروههای شاهد و آزمایش، در حضور گلوکز به تنها و یا به همراه گلی بن کلامید، در روزهای اول، پانزدهم و سیام

| آزمایش                  |                         | شاهد       |                         |                         |                         | گروه                                   |
|-------------------------|-------------------------|------------|-------------------------|-------------------------|-------------------------|--|
| روز سیام                | روز پانزدهم             | روز اول    | روز سیام                | روز پانزدهم             | روز اول                 |  |
| / ± / <sup>b*</sup>     | / ± / <sup>b*</sup>     | / ± /      | / ± /                   | / ± /                   | / ± /                   | گلوکز (۵/۶ mM)                         |
| ( / ± / ) <sup>b*</sup> | ( / ± / ) <sup>b*</sup> | ( / ± / )  | ( / ± / )               | ( / ± / )               | ( / ± / )               |  |
| / ± /                   | / ± /                   | / ± /      | / ± / <sup>a*</sup>     | / ± / <sup>a*</sup>     | / ± / <sup>a*</sup>     | گلوکز (۵/۶ mM) + گلی بن کلامید (۱۰ μM) |
| ( / ± / )               | ( / ± / )               | ( / ± / )  | ( / ± / ) <sup>a*</sup> | ( / ± / ) <sup>a*</sup> | ( / ± / ) <sup>a*</sup> |  |
|                         |                         | ±          |                         | ±                       |                         |  |
|                         |                         | a          |                         | b                       |                         |  |
|                         |                         | (P < / ) * |                         |                         |                         |  |



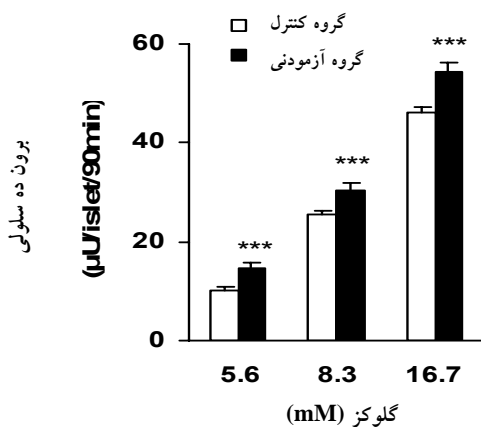
نمودار ۱- میزان ترشح انسولین از جزایر در گروههای شاهد و آزمایش در روز اول. هر ستون بیانگر Mean $\pm$ SEM برای پنج سر حیوان میباشد (۴ گروه از جزایر به ازای هر غلظت از گلوکز برای هر حیوان).



نمودار ۲- میزان ترشح انسولین از جزایر در گروههای شاهد و آزمایش در روز پانزدهم. هر ستون بیانگر Mean $\pm$ SEM برای پنج سر حیوان میباشد (۴ گروه از جزایر به ازای هر غلظت از گلوکز برای هر حیوان).

$$(P < \text{_____} / \text{_____})$$

. ( \_\_\_\_\_ ) . ( \_\_\_\_\_ )



نمودار ۳- میزان ترشح انسولین از جزایر در گروه‌های شاهد و آزمایش در روز سیام، هر نقطه بیانگر Mean $\pm$ SEM برای پنج سر حیوان می‌باشد (۴ گروه از جزایر به ازای هر غلظت از گلوكز برای هر حیوان).  
\* اختلاف بین دو گروه از نظر آماری معنی‌دار بود ( $P < 0.001$ ).

## بحث

[ ]

ATP

ATP

( / )

[ ]

( / / / )  
[ ] [ ] [ ]

SUR

(ABC) ATP-Binding Cassette

|     |     |     |
|-----|-----|-----|
| [ ] | ATP | ATP |
| SUR | ADP | ATP |

|     |     |
|-----|-----|
| [ ] | ATP |
| SUR | [ ] |

ATP SUR

/

/

/

[ ]

( / / )

( )

## سپاسگزاری

## مأخذ

1. Wales JK. Does psychological stress cause diabetes? *Diabetic Medicine* 1995; 12: 109-112.
2. Carrasco GA, Van de Kar LD. Neuroendocrine pharmacology of stress. *Euro J of Pharmacol* 2003; 463: 235-272.
3. Van de Kar LD, Blair ML. Forebrain pathways mediating stress-induced hormone secretion. *Front Neuroendocrinol* 1999; 20: 1-48.
4. Carter WR, Herrman J, Stokes K, Cox DJ. Promotion of diabetes onset by stress in the BB rat. *Diabetologia* 1987; 30: 674-675.
5. Wilkinson G. Stress: another chimera. *B M J* 1991; 302: 191-192.
6. Ljungqvist O, Nygren J, Soop M, Thorell A. Metabolic perioperative management. novel concept. *Curr Opin Crit Care* 2005; 11: 295-299.
7. Strommer L, Permert J, Arnelo U, Koehler C, Isaksson B, Larsson J, et.al. Skeletal muscle insulin resistance after trauma: insulin signaling and glucose transport. *Am J Physiol* 1998; 275: E351-358.
8. Macho L, Koska J, Ksinantova L, Pacak K, Hoff T, Noskov B, et.al. The response of endocrine system to stress loads during space flight in human subject. *Adv Space Res* 2003; 31: 1605-1610.
9. Jaber LA, Lewis NJ, Slaughter RL, Neale AV. The effect of stress on glycemic control in patients with type 2 diabetes during glyburide and glipizide therapy. *J Clin Pharmacol* 1993; 33: 239-245.
10. Moberg E, Kollind M, Lins PE. Acute mental stress impairs insulin sensitivity in IDDM patients. *Diabetologia* 1994; 37: 247-51.
11. Farias-Silva E, Sampaio-Barros MM, Amaral MEC, Carneiro EM, Boschero AC, Grassi-Kassis DM, et al. Subsensitivity to insulin in adipocytes from rats submitted to foot-shock stress. *Can J Physiol Pharmacol* 2002; 80: 783-789.
12. Tokuyama Y, Fan Z, Furuta H, Makielski JC, Polonsky KS, Bell GI, et al. Rat inwardly rectifying potassium channel Kir6.2: cloning, electrophysiological characterization, and decreased expression in pancreatic islets of male zucker diabetic fatty rats. *Bio and Bioph Res Communic* 1996; 220: 532-538.
13. Lehtihet M, Welsh N, Berggren PO, Cook GA, Sjoholm A. Glibenclamide inhibits islet carnitine palmitoyltransferase 1 activity, leading to PKC-dependent insulin exocytosis. *Am J Physiol Endocrinol Metab* 2003; 285: E438-E446.
14. Nelson TY, Gaines KL, Rajan AS, Berg M, Boyd AE III. Increased cytosolic calcium: A signal for sulfonylurea-stimulated insulin release from beta cells. *J Biol Chem* 1987; 262: 2608-2612.
15. Sweet IR, Cook DL, De Julio E, Wallen AR, Khalil G, Callis J, et.al. Regulation of ATP/ADP in pancreatic islets. *Diabetes* 2004; 53: 401-409.
16. Efano AM, Zaitsev SV, Efanova IB, Zhu S, Ostenson CG, Berggren E, et.al. Signaling and sites of interaction for RX-871024 and sulfonylurea in the stimulation of insulin release. *Am J Physiol* 1998; 274: E751-E757.
17. Nagashima K, Takahashi A, Ikeda H, Hamasaki A, Kuwamura N, Yamada Y, et.al. Sulfonylurea and non-sulfonylurea hypoglycemic agents: pharmacological properties and tissue selectivity. *Diabetes Res Clin Pract* 2004; 66: S75-S78.
18. Flatt PR, Shibier O, Szecowka J, Berggren PO. New perspectives on the actions of sulphonylurea and hyperglycemic sulphonamides on the pancreatic  $\beta$ -cell. *Diabete & Metab* 1994; 20: 157-162.
19. Eliasson L, Renstrom E, Ammala C, Berggren PO, Bertorello AM, Bokvist K, et al. PKC-dependent stimulation of exocytosis by sulfonylureas in pancreatic  $\beta$ -cells. *Science* 1996; 271: 813-815.
20. Abd Elaziz MA, Al-Dhawailie AA, Tekel A. The effect of stress on the pharmacokinetics and pharmacodynamics of glibenclamide in diabetic rats. *Eur J Drug Metab Pharmacokin* 1998; 23: 371-376.
21. Roglic G, Metelko Z. Effect of war on glycemic control in type 2 diabetic patients. *Diabetes Care* 1993; 16: 806-808.
22. Caro JF. Effects of glyburide on carbohydrate metabolism and insulin action in the liver. *Amr J of Med* 1990; 89 (Suppl 2A): 17S-25S.
23. Smith RJ. Effects of the sulfonylureas on muscle glucose homeostasis. *Amr J of Med* 1990; 89 (Suppl 2A): 38S-43S.

24. Jakson EJ, Bressler R. Clinical pharmacology of sulphonylurea hypoglycemic agents, part 1. *Drugs* 1981; 22: 211-245.
25. Toleikis PM, Godin DV. Alteration of antioxidant status in diabetic rats by chronic exposure to psychological stressors. *Pharmacol Bioch and Behavior* 1995; 52: 355-366.
26. Lacy PE, Kostianovsky M. Method for the isolation of intact islets of Langerhans from the rat pancreas. *Diabetes* 1967; 16: 35-39.
27. Shibata A, Ludvigsen CW, Naber SP, McDaniel ML, Lacy PE. Standardization of a digestion-filtration method for isolation of pancreatic islets. *Diabetes* 1976; 25: 667-672.
28. Roche manual,Collagenase P, version 4,2003; 1-2.
29. Fujioka T, Terasaki PI, Heintz R, Merideth N, Lanza P, Zheng T, et al. Rapid purification of islets using magnetic microspheres coated with anti-acinar cell monoclonal antibodies. *Transplantation* 1990; 49: 404-407.
30. Gullo D, Rabuazzo AM, Vetri M, Gatta C, Vinci C, Buscema M, et.al. Chronic exposure to glibenclamide impairs insulin secretion in isolated rat pancreatic islets. *J Endocrinol Invest* 1991; 14: 287-291.
31. Zawalich WS. Glyburide priming of beta cells, possible involvement of phosphoinositide hydrolysis. *Biochemical Pharmacology* 1991; 41: 807-813.
32. Leclercq-Meyer V, Akkan AG, Marchand J, Malaisse WJ. Effect of glimepiride and glibenclamide on insulin and glucagons secretion by the perfused rat pancreas. *Biochemical Pharmacology* 1991; 42: 1634-1637.
33. Hargrove DM, Nardone NA, Persson LM, Andrews KM, Shepherd KL, Stevenson RW, et.al. Comparison of the glucose dependency of glucagon-like peptide-1 (7-37) and glyburide in vitro and in vivo. *Metabolism* 1996; 45: 404-409.
34. Nguyen Q-A, Antoine M-H, Ouedraogo R, Hermann M, Sergooris J, Pirotte B, et.al. In vitro and in vivo effects of new insulin releasing agents. *Biochemical Pharmacology* 2002; 63: 515-521.
35. Chan O, Chan S, Inouye K, Vranic M, Matthews SG. Molecular regulation of the hypothalamo- pituitary-adrenal axis in streptozotocin-induced diabetes: effects of insulin treatment. *Endocrinology* 2001; 142: 4872-4879.
36. Polonsky KS, O'meara NM. Secretion and metabolism of insulin, proinsulin, and c-peptide. In: LJ De Groot (editors). *Endocrinology*, third edition. Philadelphia, Saunders; 1995: 1355-1356.
37. Barbera M, Fierabracci V, Novelli M, Bombara M, Masiello P, Bergamini E, et al. Dexamethasone-induced insulin resistance and pancreatic adaptive response in aging rats are not modified by oral vanadyl sulfate treatment. *Europ J of Endocrinol* 2001; 145: 799-806.
38. Malaisse WJ. Insulin secretion and beta cell metabolism. In: *Endocrinology*, LJ De Groot (editors). Third ed. Philadelphia, Saunders; 1995: 1329-1333.
39. Aguilar-Bryan L, Nichols CG, Wechsler SW, Clement JP, Boyd AE, Gonzalez G, et al. Cloning of the  $\beta$ -cell high-affinity sulphonylurea receptor: a regulator of insulin secretion. *Science* 1995; 268: 423-426.
40. Higgins CF. The ABC of channel regulation. *Cell* 1995; 82: 693-696.
41. Bradbury NA, Jilling T, Berta G, Sorscher EJ, Bridges RJ, Kirk KL. Regulation of plasma membrane recycling by CFTR. *Science* 1992; 256: 530-532.
42. Ozanne SE, Guest PC, Hutton JC, Hales CN. Intracellular localization and molecular heterogeneity of the sulphonylurea receptor in insulin-secreting cells. *Diabetologia* 1995; 38: 277-282.